

استفاده از میراگر جرمی با سختی غیرخطی نرم‌شونده و میرابی نیمه‌فعال

محمد خلیل خلبی*

کریم بادامچی (استادیار)

دانشکده هندسی عمران، دانشگاه تبریز

با پیشرفت علم و نیاز روزافزون به روش‌های نوین به منظور افزایش ضربی اینمی همراه با کاهش هزینه‌های ساخت و ساز، برخی از پژوهشگران سعی کردند تا میراگرها و روش‌های کنترلی را به عنوان یکی از راهکارهای مؤثر در جهت کاهش جایه‌جایی و شتاب طبقات ساختمان به کار گیرند. در این نوشتار برای کاهش جایه‌جایی طبقات ساختمان، از میراگر جرمی با سختی نرم‌شونده‌ی غیرخطی به همراه میرابی نیمه‌فعال با کنترل‌کننده‌ی فازی استفاده شده است. نتایج حاصل از تحلیل‌ها نشان می‌دهد که سیستم پیشنهادی قادر است بیشینه‌ی جایه‌جایی طبقات ساختمان را حدود ۲۶٪ نسبت به حالت سازه با میراگر جرمی غیرفعال و حدود ۳۴٪ نسبت به حالت سازه‌ی بدون میراگر کاهش دهد. همچنین با مقایسه‌ی RMS جایه‌جایی و شتاب طبقات در حالات مختلف مشاهده می‌شود که پارامترهای مذکور در حالت با میراگر پیشنهادی نیز کاهش پیدا می‌کنند.

واژگان کلیدی: میراگر جرمی، کنترل‌کننده‌ی فازی، میراگر نیمه‌فعال، سختی غیرخطی.

۱. مقدمه

درون منحنی‌های هیسترزیس بیشتر شود و درنتیجه انرژی ورودی بیشتری مستهلك شود. در این نوشتار یک میراگر جرمی با سختی نرم‌شونده برای رسیدن به این هدف مورد استفاده قرار گرفته است.

۲. میراگر جرمی

در میراگر جرمی غیرفعال، اتفاق انرژی بدون درنظرگرفتن نیروهای وارد بر سازه و پاسخ سازه انجام می‌شود، که روابط مناسبی برای تعیین پارامترهای آن ارائه شده است.^[۱] در میراگر جرمی نیمه‌فعال هنگام وقوع یک زمین لرزه یا طوفان، حسن‌گرهای نصب شده بر روی سازه، مشخصات این تحریکات و پاسخ‌های سازه را ثبت و به پردازشگر منتقل می‌کنند.^[۱۲] در شکل ۱، المان‌های یک سیستم کنترلی و نحوی ارتباط بین آنها شان داده شده است.

در پژوهش حاضر، یک میراگر جرمی با سختی غیرخطی نرم‌شونده با میرابی نیمه‌فعال پیشنهاد و در ادامه، یکی از روش‌های تئوری ایجاد میراگر مذکور توضیح داده شده است.

هر گاه سیستم نشان داده شده در شکل ۲ تحت تأثیر بار قائم به کشش بیافتد، این سیستم نرم‌شونده و چنانچه در حالت فشاری باشد، سخت‌شونده می‌شود. از این موضوع می‌توان برای ایجاد میراگر با سختی غیرخطی نرم‌شونده استفاده کرد. بنابراین برای ایجاد میراگر پیشنهادی می‌توان از شکل ۳ استفاده کرد.

میراگر جرمی از یک جرم با سختی و میرابی تشکیل شده است، که اگر سختی و میرابی میراگر نسبت به زمان تغییر نکند به آن میراگر جرمی غیرفعال^۱ گفته می‌شود. چنانچه این پارامترها بتوانند نسبت به زمان تغییر کنند، در این صورت میراگر جرمی نیمه‌فعال^۲ بوجود می‌آید. میراگر جرمی فعال^۳ مانند یک میراگر جرمی غیرفعال است، اما با این تفاوت که در هر لحظه از زمان می‌تواند یک نیروی خارجی به سیستم سازه وارد کند. میراگرها جرمی ترکیبی^۴ از ترکیب میراگرها ذکر شده بوجود می‌آیند. امروزه ساختمان‌های بلندمرتبه‌ی زیادی وجود دارد که در آنها از میراگر جرمی استفاده شده است.^[۱] همچنین تأثیر مطلوب میراگرها جرمی به اثبات رسیده است.^[۲-۴]

در میراگر جرمی نیمه‌فعال کنترل‌کننده برای تعیین پارامترهای مناسب سیستم در هر لحظه بکار می‌رود، که این کار با استفاده از الگوریتم‌های کنترلی انجام می‌شود. در واقع کنترل فرایندی است که در طی آن با دستکاری کردن پارامترهای مؤثر یک سیستم دینامیکی، عملکردی مطلوب از آن سیستم به دست می‌آید.^[۵] یکی از الگوریتم‌های مناسب برای نیل به این هدف، به کارگیری مطلق فازی است.^[۶] پژوهش‌های زیادی وجود دارد که نشان می‌دهد کنترلر فازی باعث ایجاد عملکردی مطلوب در میراگرها جرمی می‌شود.^[۶]

یکی از راهکارهایی که دانشمندان برای افزایش استهلاک انرژی زلزله استفاده می‌کنند، افزایش شکل‌پذیری است.^[۱۰] افزایش شکل‌پذیری باعث می‌شود تا سطح

* نویسنده مسئول

تاریخ: دریافت ۲۵/۱۱/۱۳۹۳، اصلاحیه ۲۳/۴/۱۳۹۴، پذیرش ۵/۲۴/۱۳۹۴

۳. معادلات به کار رفته و کنترل کننده‌ی فازی

یکی از روش‌های حل معادلات سازه، استفاده از فضای حالت است، که باعث می‌شود مدل سازی سازه با میراگر جرمی ساده‌تر شود. چنانچه $[M]$ ماتریس جرم سازه، $[K]$ ماتریس سختی سازه، و $[C]$ ماتریس میرایی سازه باشد، آنگاه معادلات سازه در فضای حالت به صورت رابطه‌ی ۲ نوشته می‌شود:

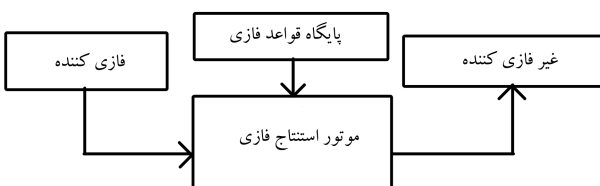
$$\begin{cases} \{\dot{u}\} \\ \{\ddot{u}\} \end{cases} = \begin{bmatrix} O_{n \times n} & I_{n \times n} \\ -[M]^{-1}[K] & -[M]^{-1}[C] \end{bmatrix} \begin{cases} \{u\} \\ \{\dot{u}\} \end{cases} - \begin{bmatrix} O_{n \times n} \\ I_{n \times n} \end{bmatrix} \{r\} \ddot{u}_g(t) \quad (2)$$

که در آن، n تعداد درجات آزادی سیستم، I ماتریس واحد، O ماتریس صفر، u_g شتاب زلزله و $\{r\}$ بردار ضریب تأثیر است. حال نیاز به دانستن میرایی و سختی میراگر است، تا بتوان این معادلات را کامل و حل کرد. در ادامه این بخش، چنگونگی یافتن میرایی توسط کنترل فازی و سختی توسط روش اولر بیان شده است.

یک مجموعه‌ی فازی، تعمیم یک مجموعه‌ی کلاسیک است که اجازه می‌دهد تابع تعقیق هر مقداری را در بازه‌ی $[0, 1]$ اختیار کند. به عبارت دیگر، یک مجموعه‌ی کلاسیک فقط می‌تواند دو مقدار 0 و 1 داشته باشد، در حالی که تابع تعقیق یک مجموعه‌ی فازی، یک تابع پیوسته در محدوده‌ی $[0, 1]$ است. کنترل فازی از ۴ قسمت تشکیل شده است، که ساختار اصلی سیستم‌های فازی در شکل ۵ نشان داده شده است.

در قسمت فازی کننده، جابه‌جایی و سرعت طبقه‌ی آخر با استفاده از توابع عضویت نشان داده شده در شکل ۶ به مجموعه‌ی فازی تبدیل می‌شوند و با توجه به توابع عضویت شکل ۷، میرایی در سیستم فازی تعیین می‌شود. ورودی فازی جابه‌جایی، 6 تابع عضویت؛ ورودی فازی سرعت، 4 تابع عضویت؛ و خروجی فازی میرایی، نیز 6 تابع عضویت دارد.

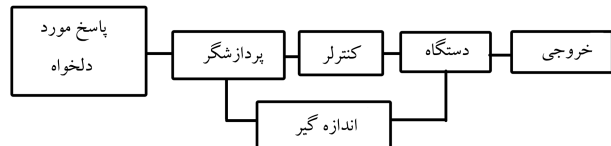
پایگاه قواعد فازی از مجموعه‌ی از قواعد اگر – آنگاه تشکیل شده است، که در جدول ۱ ارائه شده است. این قوانین براساس نیروی میرایی موردنیاز میراگر و با توجه به جابه‌جایی و سرعت طبقه‌ی آخر شکل گرفته‌اند.



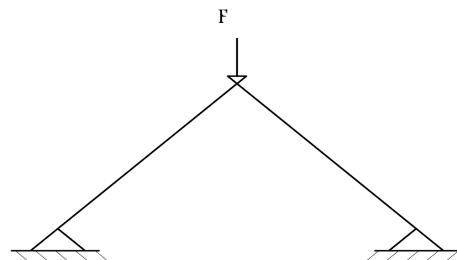
شکل ۵. ساختار اصلی سیستم‌های فازی.

جدول ۱. قوانین اگر – آنگاه فازی.

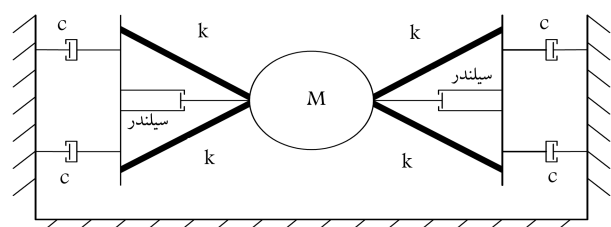
جابه‌جایی						سرعت
LP	MP	SP	SN	MN	LN	
M	S	VS	L	VL	EL	N
M	S	VS	M	L	VL	ZN
VL	L	M	VS	S	M	ZP
EL	VL	L	VS	S	M	P



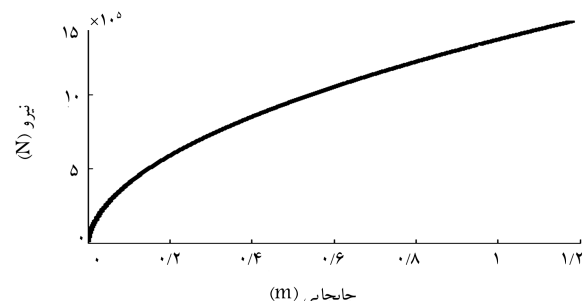
شکل ۱. المان‌های سیستم‌های کنترلی.



شکل ۲. سیستم با سختی نرم‌شونده و سخت شونده.



شکل ۳. شکلی شماتیک از سیستم پیشنهادی.



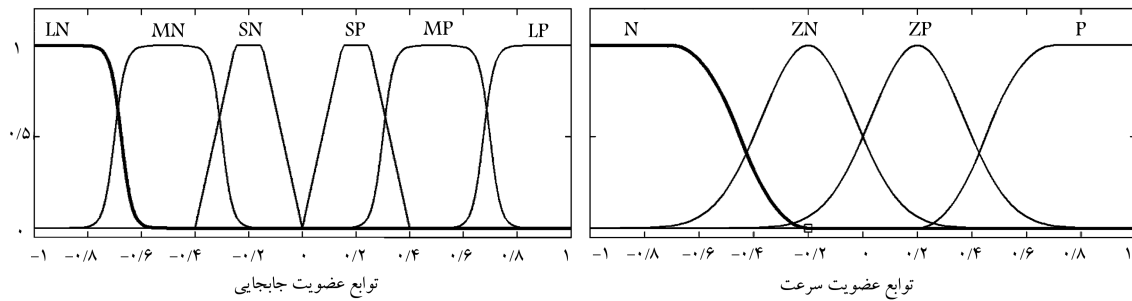
شکل ۴. منحنی نیرو جابه‌جایی میراگر غیرخطی.

همان‌طور که در شکل مذکور مشاهده می‌شود، جرم میراگر (M) در میانه‌ی سیستم قرار می‌گیرد و برای آنکه سختی‌های موجود (k) در حالت نرم‌شونده باشند، از 2 سیلندر در طرفین استفاده می‌شود تا اجزا ندهنده این سختی‌ها به کشش بیافتدند. همچنین برای ایجاد میرایی نیمه‌فعال (c) می‌توان از میراگرهای MR^5 یا ER^6 استفاده کرد، که با استفاده از کنترل کننده می‌توان در هر لحظه، میرایی مناسب را به این میراگرهای اعلام کرد تا میرایی موردنظر را به سازه اعمال کنند.

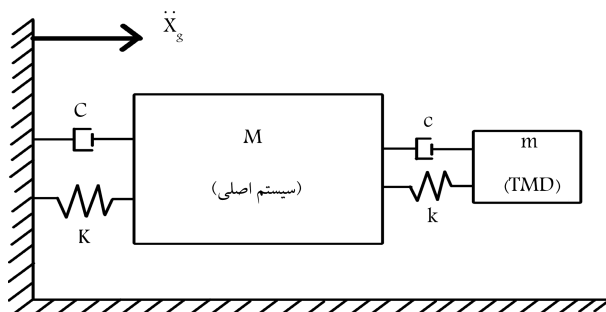
برای سختی میراگر، رابطه‌ی 1 استفاده شده است، که در آن F بر حسب مگانیتون، K بر حسب نیوتون بر متر و مقدار ضریب بی بعد A ، براساس برخی پژوهش‌ها، $[14^{11}]$ برابر $10^6 \times 2/5 \times 185$ در نظر گرفته شده است.

$$K = \frac{A}{20F + 1} \quad (1)$$

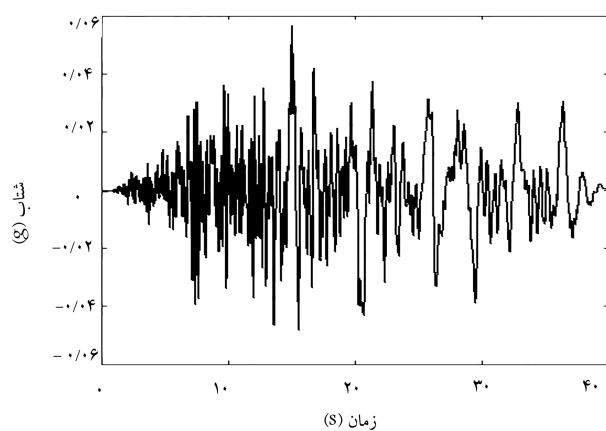
نمودار نیرو – جابه‌جایی برای این میراگر به صورت شکل ۴ است، که با استفاده از روش اولر و در نرم‌افزار MATLAB ترسیم شده است.



شکل ۶. توابع عضویت سرعت و جا به جایی.



شکل ۸. سیستم دو درجه آزادی.

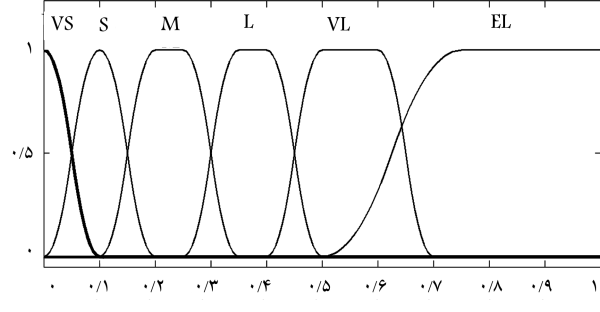


شکل ۹. نمودار تاریخچه‌ی زمانی زلزله‌ی بورگو.

در این سیستم جرم اصلی، دوره‌ی تناوب $s = 0.25$ s و نسبت میرایی $\mu = 2$ دارد و نسبت جرم و بسامد میراگر به جرم و بسامد سیستم اصلی به ترتیب $n = 1/1$ و $\mu = 36/90$ است. همچنین نسبت میرایی TMD، $\mu = 3196/1997$ است. این سیستم در حالت کنترل نشده و کنترل غیرفعال در سال ۱۹۹۷^[۱۱] مورد مطالعه قرار گرفته است.

سپس سیستم ذکر شده تحت زلزله‌ی بورگو^۹ با نمودارهای تاریخچه‌ی زمانی نشان داده شده در شکل ۹ قرار گرفته است. نتایج بدست آمده از کنترل کننده‌ی پیشنهادی و گزارش‌های ساداک و همکارانش،^[۱۲] در جدول ۲ ارائه شده است.

جهت مطالعه‌ی ساختمانی، یک ساختمان 10×10 طبقه‌ی فولادی مورد بررسی قرار گرفته است. مشخصات این ساختمان در جدول ۳ ارائه شده است. میرایی سازه را می‌توان از میرایی رایلی مطابق روابط ۳ و ۴ بدست آورد:



شکل ۷. توابع عضویت خروجی.

برای مثال، یکی از این قوانین اگر - آنگاه مورد استفاده به‌این صورت است:

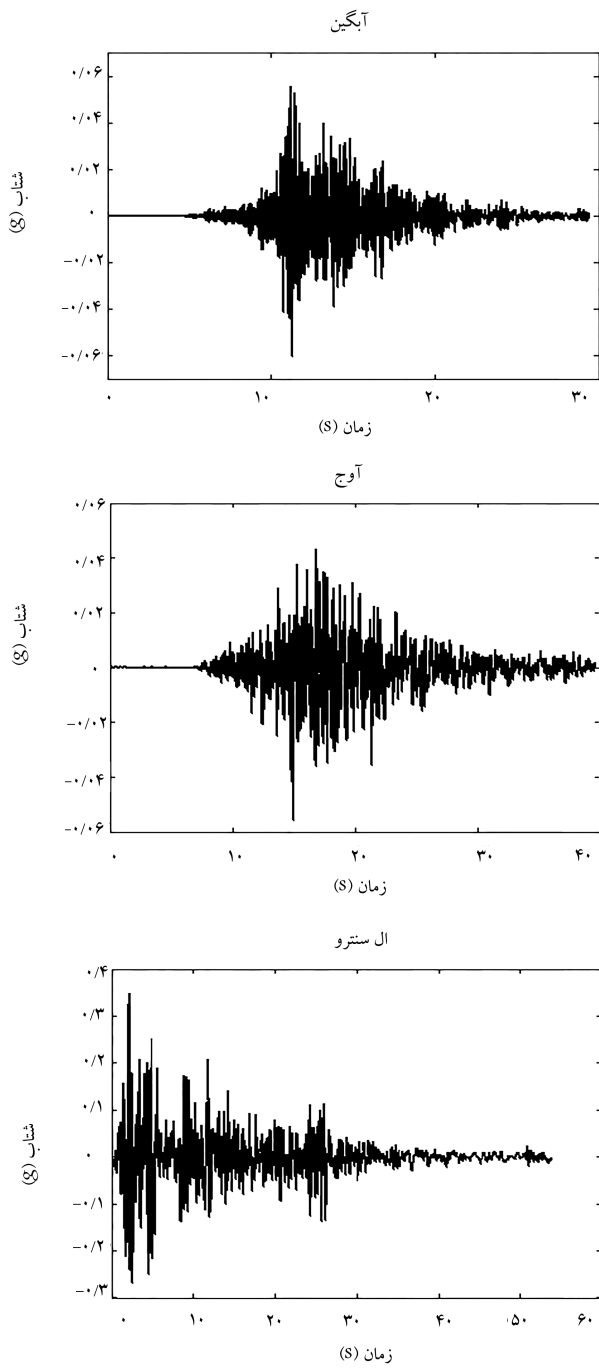
If Displacement is LN and Velocity is N, Then Damping is EL.

با توجه به شکل ۵، موتور استنتاج فازی باید براساس قوانین موجود در پاگاه قواعد فازی و فازی‌کننده، خروجی را به صورت فازی نشان دهد. به عبارت دیگر، استنتاج فازی، فرایند فرمول‌کردن نگاشت ورودی داده شده به یک خروجی با استفاده از منطق فازی است. برای هر چه بهر عمل‌کردن کنترلر پیشنهادی، موتور استنتاج کمیته استفاده می‌شود. در این روش از عملگر کمیته برای $t - t$ - نرم‌ها (روش And)، از عملگر پیشنهادی برای $s - s$ - نرم‌ها (روش Or)، از استعلام کمیته‌ی مددانی برای دلالت کردن^۷، و از بیشینه برای $x - x$ - نرم‌ها (روش Max) است. با ترکیب اجتماع^۸ استفاده می‌شود. ورودی هر فرایند غیرفازی ساز، یک مجموعه‌ی فازی به دست آمده از موتور استنتاج فازی است و خروجی آن یک عدد است که غیرفازی ساز این فرایند را انجام می‌دهد. برای کنترل طراحی شده از روش مرکز ثقل استفاده شده است.

برای تعیین محل میراگر در هر لحظه از زمان، از روش اول استفاده شده است. در این روش نیروی هدف به n قسمت تقسیم شده و سپس سختی سازه با توجه به جزء نیروی موردنظر در هر مرحله به دست آمده است. جا به جایی در هر مرحله از تقسیم جزء نیرو بر سختی آن لحظه به دست آید. جا به جایی کل در هر مرحله از حاصل جمع جا به جایی به دست آمده با جا به جایی مرحله‌ی قبل است. این حلقه تکرار می‌شود. قابل ذکر است که هر چه n بیشتر باشد، دقت موردنظر بیشتر می‌شود.

۴. مدل تحلیلی مورد مطالعه

در ابتدا یک سیستم دو درجه آزادی با مشخصات نشان داده شده در شکل ۸ مورد بررسی قرار گرفته است.



شکل ۱۰. نمودار تاریخچه‌ی زمانی زلزله‌های آبگین، آوج و ال سنترو.

توانسته است جابه‌جایی‌های طبقه‌ی آخر سازه را به میزان مطلوبی کاهش دهد و این کاهش نسبت به میراگر غیرفعال بیشتر بوده است. برای مثال در زلزله‌ی ال سنترو، بیشینه‌ی جابه‌جایی‌های طبقه‌ی آخر ساختمان در حالت بدون میراگر، با میراگر دارای سختی ثابت و همراه با میراگر پیشنهادی به ترتیب $1/3$ ، $1/4$ و 0.8 میلی‌متر است. به عبارت دیگر، میراگر پیشنهادی حدود 43% جابه‌جایی طبقه‌ی آخر را نسبت به حالت سازه‌ی بدون میراگر و حدود 38% نسبت به میراگر با سختی ثابت کاهش داده است.

در جدول‌های ۴ الی ۶، بیشینه‌ی جابه‌جایی طبقات، RMS جابه‌جایی طبقات،

جدول ۲. بیشینه‌ی جابه‌جایی جرم اصلی.

بدون میراگر	میراگر جرمی با سختی خطی (mm)	میراگر پیشنهادی (mm)	پژوهش ساداک و همکاران [۱۱]
—	۲/۴	۴/۳	
۲/۳	۲/۴	۴/۳	پژوهش حاضر

جدول ۳. مشخصات ساختمان ۱۰ طبقه‌ی مورد مطالعه.

شماره‌ی طبقه	جرم طبقه	سختی طبقه	طبقات
(MN/m)	(KN.s/m)		
۴۶۸	۲۱۵	۱	
۴۷۶	۲۰۱	۲	
۴۶۸	۲۰۱	۳	
۴۵۰	۲۰۰	۴	
۴۵۰	۲۰۱	۵	
۴۵۰	۲۰۱	۶	
۴۵۰	۲۰۱	۷	
۴۳۷	۲۰۳	۸	
۴۳۷	۲۰۳	۹	
۴۳۷	۲۰۳	۱۰	

$$[C] = a_{\circ} [M] + b_{\circ} [K] \quad (3)$$

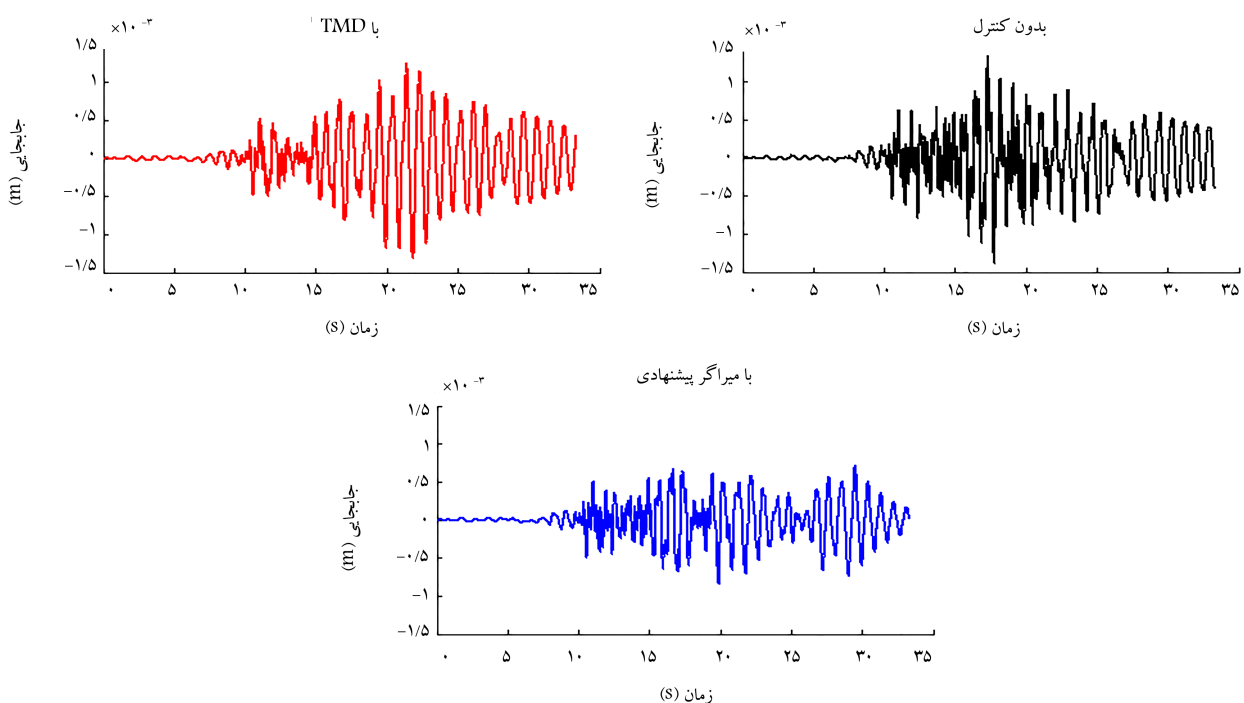
$$\begin{pmatrix} a_{\circ} \\ b_{\circ} \end{pmatrix} = \frac{2\zeta}{\omega_n + \omega_m} \begin{Bmatrix} \omega_n \omega_m \\ 1 \end{Bmatrix} \quad (4)$$

که در آن، ζ درصد میرایی سازه، ω_n و ω_m بسامدهای طبیعی سازه هستند. برای ساختمان ۱۰ طبقه‌ی مذکور، نسبت میرایی 1% و برای یافتن a و b مودهای اول و دوم استفاده شده است.

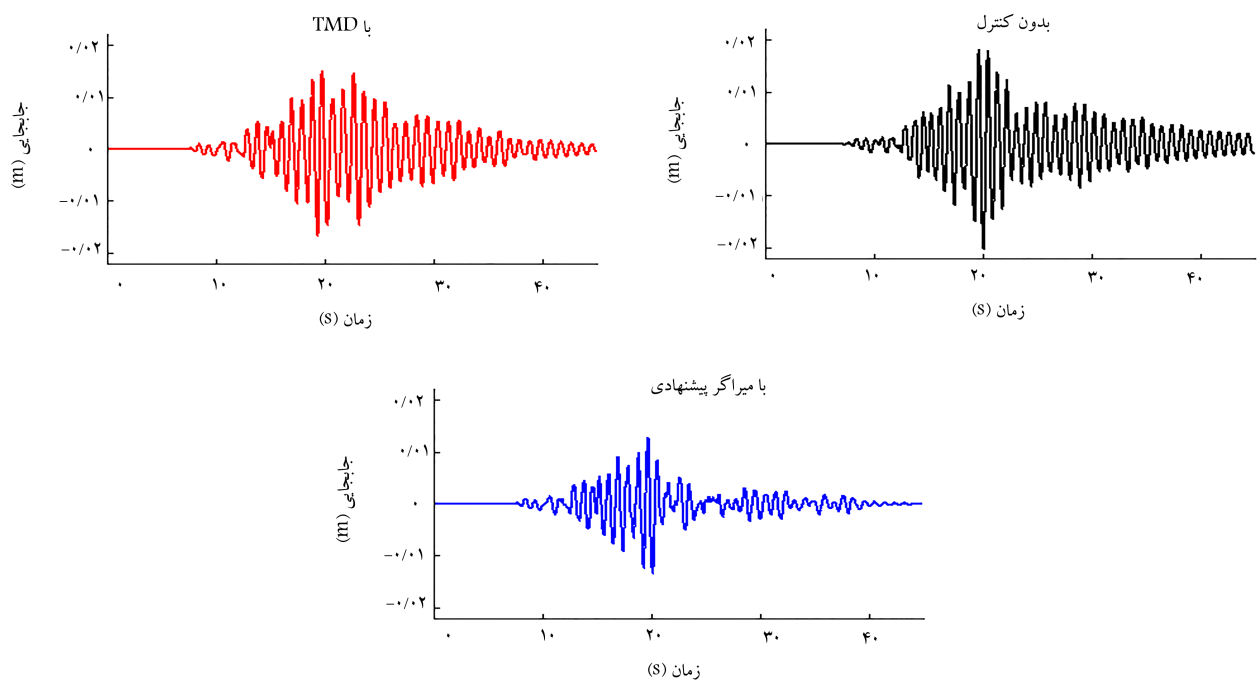
جرم و بیشینه‌ی میرایی میراگر به ترتیب ($KN.s/m$) 176 و ($N.s/m$) 40100 در نظر گرفته شده است. همچنین مقدار سختی در میراگر با سختی خطی (MN/m) 185 و در میراگر با سختی غیرخطی مطابق رابطه‌ی 1 در نظر گرفته شده است.

برای بررسی میراگر ذکرشده، سازه تحت 3 زلزله‌ی آبگین، آوج، وال سنترو^۱ با نمودارهای تاریخچه‌ی زمانی شتاب نشان داده شده در شکل 10 قرار گرفته است. مدل‌سازی‌های مذکور در نرم‌افزار MATLAB انجام شده است. در شکل‌های 11 الی 13 جابه‌جایی طبیعی دهم سازه تحت زلزله‌های مذکور در 3 حالت سازه‌ی بدون میراگر، سازه با میراگر دارای سختی ثابت، و سازه با میراگر دارای سختی غیرخطی و میرایی نیمه‌فعال نشان داده شده است.

با توجه به شکل‌های 11 الی 13 مشاهده می‌شود که میراگر جرمی پیشنهادی

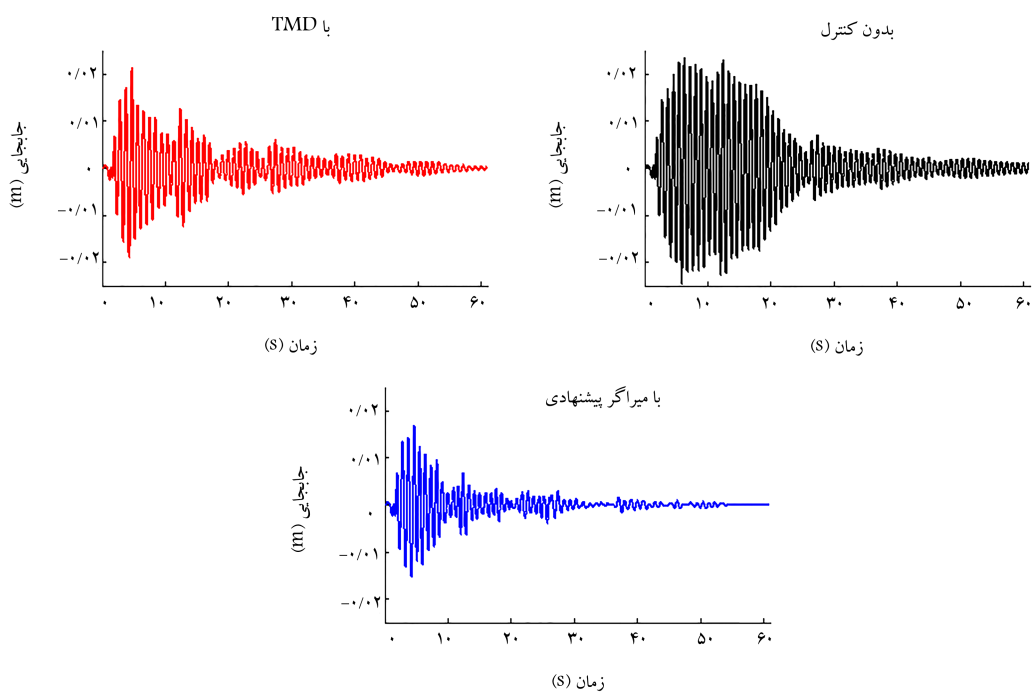


شکل ۱۱. جابه‌جایی طبقه‌ی آخر تحت زلزله‌ی آبگین.



شکل ۱۲. جابه‌جایی طبقه‌ی آخر تحت زلزله‌ی آوج.

و RMS شتاب طبقات در طی زلزله‌های مذکور ارائه شده است. همان‌طور که در جدول‌های مذکور مشاهده می‌شود، میراگر جرمی باعث کاهش جابه‌جایی پیشنهادی طبقات شده است، البته این کاهش جابه‌جایی با استفاده از میراگر پیشنهادی مطلوب‌تر بوده است. با توجه به جدول ۵ مشاهده می‌شود که RMS جابه‌جایی ساختمان با میراگر دارای سختی ثابت نسبت به ساختمان بدون میراگر بیشتر شده است. اما میراگر به میراگر پیشنهادی بهتر عمل کرده است.



شکل ۱۳. جابه‌جایی طبقه‌ی آخر تحت زلزله‌ی ال سنترو.

جدول ۴. پاسخ سازه تحت زلزله‌ی آبگین.

شماره‌ی طبقات												نوع میراگر	پاسخ سازه
۱۰	۹	۸	۷	۶	۵	۴	۳	۲	۱				
۱,۳۸	۱,۲۷	۱,۰۷	۰,۸۶	۰,۹۲	۱,۰۳	۱,۰۱	۰,۸۷	۰,۶۶	۰,۴۰	بدون میراگر	بیشینه اندازه‌ی جابه‌جایی (mm)	RMS جابه‌جایی (10^{-6} m)	
۱,۳۲	۱,۲۵	۱,۱۵	۱,۰۴	۰,۹۳	۰,۸۱	۰,۶۹	۰,۵۵	۰,۴۲	۰,۲۷	میراگر با سختی ثابت			
۰,۸۴	۰,۷۹	۰,۷۴	۰,۷۲	۰,۷۲	۰,۶۸	۰,۶۰	۰,۵۳	۰,۵۲	۰,۳۵	میراگر پیشنهادی			
۰,۱۲	۰,۱۰	۰,۰۸	۰,۰۷	۰,۰۶	۰,۰۶	۰,۰۵	۰,۰۴	۰,۰۳	۰,۰۱	بدون میراگر	بیشینه اندازه‌ی جابه‌جایی (mm)	RMS جابه‌جایی (10^{-6} m)	
۰,۱۵	۰,۱۴	۰,۱۲	۰,۱۰	۰,۰۸	۰,۰۶	۰,۰۴	۰,۰۳	۰,۰۱	۰,۰۰	میراگر با سختی ثابت			
۰,۰۶	۰,۰۶	۰,۰۵	۰,۰۴	۰,۰۴	۰,۰۳	۰,۰۲	۰,۰۲	۰,۰۱	۰,۰۰	میراگر پیشنهادی			
۲۲,۵۸	۹,۸۵	۱۶,۶۶	۱۲,۹۶	۲۱,۰۱	۱۱,۴۹	۱۶,۲۶	۱۹,۳۲	۲۳,۶۶	۱۹,۹۸	بدون میراگر	بیشینه اندازه‌ی جابه‌جایی (mm)	RMS شتاب (mm/s ²)	
۹,۴۹	۵,۵۵	۸,۸۶	۱۲,۶۴	۱۴,۲۴	۰,۴۸	۷,۴۳	۱۲,۰۴	۱۸,۳۶	۱۲,۳۹	میراگر با سختی ثابت			
۱۴,۴۰	۶,۳۲	۱۲,۴۲	۱۱,۷۲	۱۶,۹۶	۷,۱۱	۹,۸۸	۱۳,۷۷	۱۹,۰۴	۱۵,۵۵	میراگر پیشنهادی			

جدول ۵. پاسخ سازه تحت زلزله‌ی آوج.

شماره‌ی طبقات												نوع میراگر	پاسخ سازه
۱۰	۹	۸	۷	۶	۵	۴	۳	۲	۱				
۲۰,۲۵	۱۹,۸۹	۱۹,۱۶	۱۷,۹۰	۱۶,۱۶	۱۳,۹۸	۱۱,۴۶	۸,۷۳	۵,۹۵	۳,۰۶	بدون میراگر	بیشینه اندازه‌ی جابه‌جایی (mm)	RMS جابه‌جایی (10^{-6} m)	
۱۶,۶۵	۱۵,۹۲	۱۴,۸۳	۱۳,۴۶	۱۲,۰۵	۱۰,۵۹	۸,۸۳	۶,۸۶	۴,۷۳	۲,۴۵	میراگر با سختی ثابت			
۱۳,۳۶	۱۲,۸۲	۱۱,۹۹	۱۰,۹۵	۹,۸۴	۸,۵۹	۷,۱۶	۵,۶۷	۴,۰۲	۲,۱۲	میراگر پیشنهادی			
۲۰,۳۱	۱۹,۳۱	۱۷,۴۵	۱۴,۹۴	۱۲,۱۱	۹,۱۲	۶,۲۲	۳,۶۵	۱,۷۰	۰,۴۵	بدون میراگر	بیشینه اندازه‌ی جابه‌جایی (mm)	RMS جابه‌جایی (10^{-6} m)	
۱۸,۵۸	۱۷,۱۸	۱۵,۱۹	۱۲,۷۷	۱۰,۱۹	۷,۵۷	۵,۱۰	۲,۹۵	۱,۳۶	۰,۳۵	میراگر با سختی ثابت			
۶,۴۱	۶,۰۰	۵,۳۵	۴,۵۳	۳,۶۴	۲,۷۳	۱,۸۷	۱,۱۰	۰,۵۲	۰,۱۴	میراگر پیشنهادی			
۹۵,۸۶	۷۴,۵۰	۶۱,۶۹	۵۸,۲۲	۵۶,۵۳	۵۰,۸۸	۴۶,۵۸	۴۲,۷۱	۳۲,۸۳	۱۳,۴۰	بدون میراگر	بیشینه اندازه‌ی جابه‌جایی (mm)	RMS شتاب (mm/s ²)	
۵۳,۸۵	۴۳,۶۰	۳۹,۸۴	۳۹,۲۶	۳۷,۴۸	۳۳,۰۴	۲۸,۹۸	۲۴,۸۶	۱۷,۴۹	۶,۵۱	میراگر با سختی ثابت			
۴۲,۸۶	۳۱,۴۴	۲۶,۲۰	۲۶,۱۰	۲۶,۰۶	۲۵,۹۳	۲۵,۳۳	۲۳,۷۲	۱۹,۲۳	۸,۲۵	میراگر پیشنهادی			

جدول ۶. پاسخ سازه تحت زلزله‌ی ال سنترو.

شماره‌ی طبقات											نوع میراگر	پاسخ سازه
۱۰	۹	۸	۷	۶	۵	۴	۳	۲	۱			
۲۴,۶۵	۲۴,۰۱	۲۲,۷۴	۲۰,۸۹	۱۸,۵۷	۱۵,۸۴	۱۲,۸۵	۹,۷۹	۶,۶۳	۳,۴۰	بدون میراگر	بیشینه‌ی اندازه‌ی جایه‌جایی (cm)	
۲۱,۴۶	۲۰,۵۶	۱۹,۲۳	۱۷,۵۹	۱۵,۷۳	۱۳,۶۰	۱۱,۲۶	۸,۶۱	۵,۸۴	۳,۰۱	میراگر با سختی ثابت		
۱۶,۸۸	۱۶,۰۷	۱۴,۸۳	۱۳,۲۴	۱۱,۴۸	۹,۵۳	۷,۶۶	۵,۹۴	۴,۱۵	۲,۱۹	میراگر پیشنهادی		
۵,۹۹	۵,۷۱	۵,۱۸	۴,۴۴	۳,۵۹	۲,۶۹	۱,۸۲	۱,۰۶	۰,۴۹	۱۳,۰۰	بدون میراگر	RMS جایه‌جایی (mm)	
۱,۹۲	۱,۷۸	۱,۵۷	۱,۳۲	۱,۰۵	۰,۷۸	۰,۵۲	۰,۳۰	۰,۱۴	۰,۰۴	میراگر با سختی ثابت		
۰,۹۵	۰,۸۹	۰,۸۰	۰,۶۸	۰,۵۴	۰,۴۱	۰,۲۷	۰,۱۶	۰,۰۷	۰,۰۲	میراگر پیشنهادی		
۱۷,۱۵	۱۵,۹۸	۱۴,۱۸	۱۲,۱۰	۱۰,۰۲	۷,۹۵	۵,۸۶	۳,۷۸	۱,۹۶	۰,۵۹	بدون میراگر	RMS شتاب (m/s ^۲)	
۴,۳۵	۳,۹۰	۳,۴۳	۲,۹۵	۲,۴۷	۱,۹۸	۱,۴۷	۰,۹۷	۰,۵۳	۰,۱۷	میراگر با سختی ثابت		
۳,۲۳	۲,۹۳	۲,۴۸	۲,۱۷	۱,۹۲	۱,۷۲	۱,۴۷	۱,۱۹	۰,۸۴	۰,۳۶	میراگر پیشنهادی		

جابه‌جایی طبقات، ۷۰٪ RMS تمام طبقات، و ۵٪ RMS شتاب تمام طبقات را نسبت به حالت سازه‌ی بدون میراگر کاهش دهد. همچنین نشان داده است که میراگر در حالت سختی ثابت و غیرفعال می‌تواند در بعضی مواقع باعث افزایش RMS طبقات شود، اما چنین اتفاقی در میراگر پیشنهادی نمی‌افتد و این امر به دلیل استفاده از کنترل‌کننده است.

در این پژوهش با استفاده از نرم‌افزار MATLAB یک ساختمان ۱۰ طبقه تحت شتاب ناشی از زمین‌لرزه قرار گرفته است، که نتایج به دست آمده نشان می‌دهد میراگر با سختی شونده و میرایی نیمه‌فعال توانسته است به طور متوسط ۳۵٪ بیشینه

۵. نتیجه‌گیری

پانوشت‌ها

1. tuned mass damper (TMD)
2. semi-active tuned mass damper
3. active tuned mass damper
4. hybrid tuned mass damper
5. magnetorheological damper
6. electro rheological fluid
7. implication
8. aggregation
9. Borrego
10. El Centro

منابع (References)

1. Gutierrez Soto, M. and Adeli, H. "Tuned mass dampers", *Archives of Computational Methods in Engineering*, **20**(4), pp. 419-431 (2013).
2. Lu, X., Li, P., Guo, X., Shi, W. and Liu, J. "Vibration control using ATMD and site measurements on the Shanghai world financial center tower", *The Structural Design of Tall and Special Buildings*, **23**(2), pp. 105-123 (2014).
3. Soleymani, M. and Khodadadi, M. "Adaptive fuzzy controller for active tuned mass damper of a benchmark tall building subjected to seismic and wind loads", *The Structural Design of Tall and Special Buildings*, **23**(10), pp. 781-800 (2014).
4. Lu, X.L. and Jiang, H.J. "Research and practice of response control for tall buildings in mainland China", *Procedia Engineering*, **14**, pp. 73-83 (2011).
5. Asnafi, A.R. "Linear control systems", Iran: University of Yasuj (12 Feb. 2009).
[Online].<<http://www.yu.ac.ir/DesktopModules/Contents/assets/asset1694/linearcontrolsystems872.pdf>>.
6. Alvarez, P., Kukreti, A., McElwain, B., Cohen, K., Thesing, L. and Edalath, S. "PD and fuzzy logic control for earthquake resilient structures", *Wiley Periodicals, Inc. Comput. Appl. Eng. Educ.*, **22**(1), pp. 142-152 (2014).
7. Edalath, S., Kukreti, A.R. and Cohen, K. "Enhancement of a tuned mass damper for building structures using fuzzy logic", *Journal of Vibration and Control*, **19**(12), pp. 1763-1772 (2012).
8. Das, D., Datta, T.K. and Madan, A. "Semi active fuzzy control of the seismic response of building frames with MR dampers", *Earthquake Engineering and Structural Dynamics*, **41**(1), pp. 99-118 (2012).
9. Kim, H.S. and Kang, J.W. "Semi-active fuzzy control of a wind-excited tall building using multi-objective genetic algorithm", *Engineering Structures*, **41**, pp. 242-257 (2012).

- [مشخصه از راهنمایی]
10. Bruneau, M., Uang, C.M. and Sabelli, R., *Ductile Design of Steel Structures*, Second Edition, United States of America, McGraw-Hill, 905 p. (2011).
 11. Sadek, F., Mohraz, B., Taylor, A.W. and Chung, R.M. "A method of estimating the parameters of tuned mass dampers for seismic applications", *Journal of Earthquake Engineering and Structural Dynamics*, **26**(6), pp. 617-635 (1997).
 12. Yalla, S.K., Kareem, A. and Kantor, J.C. "Semi-active tuned liquid column dampers for vibration control of structures", *Engineering Structures*, **23**(11), pp. 1469-1479 (2001).
 13. Zahrai, S.M., Zare, A., Khalili, M.K. and Asnafi, A. "Seismic design of fuzzy controller for semi-active tuned mass damper using top stories as the mass", *Asian Journal of Civil Engineering (BHRC)*, **14**(3), pp. 383-396 (2013).
 14. Chey, M.H. "Passive and semi-active tuned mass damper building systems", Ph.D Thesis, New Zealand: University of Canterbury (2007).